

УДК 537.226.3

ВЛИЯНИЕ ДЕЙТЕРИРОВАНИЯ НА ФИЗИЧЕСКИЕ СВОЙСТВА СЕГНЕТОЭЛЕКТРИКА $[(\text{CH}_3)_2\text{NH}_2]_2\text{CuCl}_4$

З. А. Боброва, В. М. Варикаш

Исследованы температурные зависимости термического расширения, теплоемкости и диэлектрической проницаемости нового сегнетоэлектрического кристалла $[(\text{CH}_3)_2\text{NH}_2]_2\text{CuCl}_4$ и его дейтерированного аналога. Рассчитаны коэффициенты dT_{c1}/dp и dT_{c2}/dp объектов исследования. Проведено сравнение действия гидростатического давления и дейтерирования на кристалл $[(\text{CH}_3)_2\text{NH}_2]_2\text{CuCl}_4$.

Среди кристаллов с общей формулой $A_2\text{BX}_4$ особое место занимает семейство со структурой $\beta\text{-K}_2\text{SO}_4$. В нем насчитываются более десятка кристаллов, являющихся несобственными сегнетоэлектриками, обладающими определенной последовательностью фаз с одинаковыми пространственными группами в соответствующих фазах. Кристаллы, у которых тетраэдрические группы представлены $\text{Me}\Gamma_4$, где Me — двухвалентный металл, а Г — галоген, можно разделить на две группы известных сегнетоэлектриков: I) кристаллы, где A — ион щелочного металла или аммония; II) кристаллы, где A — ион тетраметиламмония. Для кристаллов I группы характерны широкие температурные диапазоны (до 250 К) существования несоразмерной и сегнетоэлектрической фаз, параметр мультиплексии элементарной ячейки при переходе в сегнетоэлектрическую фазу равен 3, максимальное значение диэлектрической проницаемости при температуре T_c порядка нескольких сотен. Кристаллы II группы обладают узкими интервалами (не более 30 К для несоразмерной и 6—2 К для сегнетоэлектрической) существования фаз. Параметр мультиплексии элементарной ячейки при T_c равен 5, максимальное значение ϵ при температуре T_c порядка нескольких десятков.

Нами была выращена новая группа кристаллов, химически изоморфных известным сегнетоэлектрическим кристаллам типа $A_2\text{Me}\Gamma_4$, по размеру катиона занимающая промежуточное положение между двумя описанными группами. Общая формула кристаллов этой группы $[(\text{CH}_3)_2\text{NH}_2]_2\text{MeCl}_4$, где Me — Zn, Co, Cd, Cu.

Принадлежащий этой группе кристалл $[(\text{CH}_3)_2\text{NH}_2]_2\text{CuCl}_4$ является новым сегнетоэлектриком с двумя точками Кюри при -20°C и 6.5°C [1]. Результаты исследования диэлектрической проницаемости и термического расширения [1, 2] указывают на то, что оба фазовых перехода являются переходами первого рода, а фазовый переход при T_{c1} является несобственным сегнетоэлектрическим переходом.

Как известно [3], дейтерирование тетраметиламмонийсодержащих кристаллов, принадлежащих семейству $\beta\text{-K}_2\text{SO}_4$, заметно изменяет их физические свойства: в $[(\text{CH}_3)_4\text{N}]_2\text{ZnCl}_4$ исчезает сегнетоэлектрическая фаза, а в $[(\text{CH}_3)_4\text{N}]_2\text{CoCl}_4$ исчезает вторая несоразмерная фаза и уменьшается температурный диапазон существования сегнетоэлектрической фазы. Исследование частично дейтерированных кристаллов $[(\text{CH}_3)_2\text{NH}_{2-x}\text{D}_x]_2\text{CuCl}_4$ показало [4], что с увеличением содержания дейтерия в кристалле T_{c1} сдвигается вниз, а T_{c2} вверх по температурной шкале.

1. Методика эксперимента

Кристалл $[(\text{CH}_3)_2\text{NH}_2]_2\text{CuCl}_4$ был выращен методом изотермического испарения растворителя при температуре 28 °C из насыщенного водного раствора солей диметиламингидрохлорида и хлорида меди, взятых в стехиометрическом соотношении



Химический состав кристалла определен методами титрования меди, хлора и азота. Содержание азота и углерода определялось при помощи С—N—H-анализатора. Так как габитус кристаллов $[(\text{CH}_3)_2\text{NH}_2]_2\text{CuCl}_4$ и $[(\text{CH}_3)_4\text{N}]_2\text{CuBr}_4$ сходен, направление кристаллофизических осей выбиралось аналогично [5].

Дейтерирование кристалла выполнялось путем многократной перекристаллизации диметилхлоркупата в тяжелой воде, а также выращиванием кристаллов из раствора соответствующих хлоридов в тяжелой воде с последующей перекристаллизацией в D_2O .

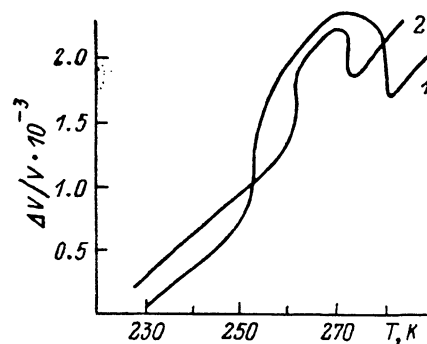


Рис. 1. Температурная зависимость относительного объемного расширения кристаллов $[(\text{CH}_3)_2\text{NH}_2]_2\text{CuCl}_4$ (1) и его дейтерированного аналога (2).

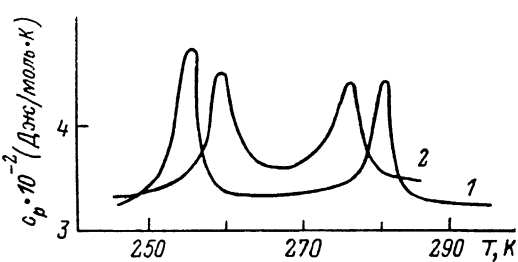


Рис. 2. Температурная зависимость теплоемкости кристаллов $[(\text{CH}_3)_2\text{NH}_2]_2\text{CuCl}_4$ (1) и его дейтерированного аналога (2).

Термическое расширение кристаллов исследовалось на кварцевом дилатометре. Для преобразования механического сигнала в электрический использовался mechanotron 6МХ30. Образцы изготавливались в виде столбиков размерами $2 \times 2 \times 10$ мм, вырезанных вдоль трех кристаллографических направлений. Погрешность измерений составляла 4.6 %. В качестве эталона для градуировки дилатометра использовался монокристалл NaCl .

Теплоемкость измерялась на дифференциальном сканирующем микрокалориметре ДСМ-2М. Образцы изготавливались в виде таблеток диаметром 1 см и запаковывались в алюминиевые контейнеры. Количество вещества, используемого при изготовлении одного образца, составляло 50–150 мг. Градуировка прибора производилась при помощи эталонного образца корунда. Погрешность составляла 1 %.

Исследование диэлектрической проницаемости проводилось с помощью RCL-измерителя Е7-8. Образцы изготавливались в виде прямоугольных пластинок размерами $4 \times 4 \times 1$ мм. Для нанесения электродов использовалось сусальное золото. Расчет ϵ проводился по формуле плоского конденсатора. Погрешность составляла 6 %.

2. Результаты и обсуждение

На рис. 1 представлена температурная зависимость изменения относительного объема кристалла $[(\text{CH}_3)_2\text{NH}_2]_2\text{CuCl}_4$ (1) и его дейтерированного аналога (2). Скачки относительного объема при фазовых переходах

T_{c1} составляли $-3.7 \cdot 10^{-4}$ и $-2.5 \cdot 10^{-4}$, $T_{c2} - 4.2 \cdot 10^{-4}$ и $4.2 \cdot 10^{-4}$ для чистого и дейтерированного кристаллов соответственно. Из приведенных данных следует, что дейтерирование не меняет рода фазовых переходов.

Зависимость теплоемкости от температуры кристаллов $[(\text{CH}_3)_2\text{NH}_2]_2\text{CuCl}_4$ и его дейтерированного аналога представлены на рис. 2. Расчитанные по данным $c_p(T)$ значения изменений энталпии ΔH и энтропии ΔS приведены в табл. 1.

Таблица 1

Кристалл	$T, \text{ К}$	$\Delta H, \text{ Дж/моль}$	$\Delta S, \text{ Дж/(моль} \cdot \text{К)}$
$[(\text{CH}_3)_2\text{NH}_2]_2\text{CuCl}_4$	279	535	1.92
	253	547	2.18
$d'[(\text{CH}_3)_2\text{NH}_2]_2\text{CuCl}_4$	275	413	1.50
	255	480	1.88

Как показало исследование диэлектрической проницаемости частично дейтерированных кристаллов $[(\text{CH}_3)_2\text{NH}_2]_2\text{CuCl}_4$ в области температур, близких T_{c1} (рис. 3), при увеличении концентрации дейтерия скачок ϵ сдвигается в сторону более низких температур, а максимум ϵ соответствует температуре T_{c1} недейтерированного кристалла. Температуры, при которых проявляются скачки диэлектрической проницаемости, соответствуют температурам, при которых наблюдаются скачки объема и аномалии теплоемкости.

Сопоставление данных по исследованию теплоемкости и термического расширения позволяет рассчитать барические коэффициенты dT_{c1}/dp и dT_{c2}/dp исследуемых кристаллов. Рассчитанные по уравнению Клапейрона—Клаузиуса коэффициенты dT_c/dp приведены в табл. 2.

Таблица 2

Кристалл	$T_c, \text{ К}$	$dT_c/dp, \text{ К/кбар}$
$[(\text{CH}_3)_2\text{NH}_2]_2\text{CuCl}_4$	279	-4.5
	253	4.5
$d'[(\text{CH}_3)_2\text{NH}_{2-x}\text{D}_x]_2\text{CuCl}_4$	275	-4.4
	255	5.6

С учетом полученных значений коэффициентов dT_c/dp можно сделать вывод, что под действием гидростатического давления температурный интервал существования сегнетоэлектрической фазы будет уменьшаться и при давлении порядка 3 кбар она должна исчезнуть. Аналогичным образом ведут себя под действием гидростатического давления все сегнетоэлектрические кристаллы семейства $\beta\text{-K}_2\text{SO}_4$ (табл. 3).

Несмотря на то что в кристаллах, содержащих в качестве катиона ион тетраметиламмония, оба коэффициента dT_{c1}/dp и dT_{c2}/dp положительны,

Таблица 3

Кристалл	$dT_{c1}/dp, \text{ К/кбар}$	$dT_{c2}/dp, \text{ К/кбар}$	$p_0, \text{ кбар}$
K_2SeO_4	-13.0 [6]		
K_2ZnCl_4	-8.5 [6]		
Rb_2ZnCl_4	-8.0 [6]		
$[(\text{CH}_3)_4\text{N}]_2\text{ZnCl}_4$	20.0 [7]	26.0 [7]	1.3 [7]
$[(\text{CH}_3)_4\text{N}]_2\text{CoCl}_4$	20.0 [7]	26.0 [7]	1.0 [7]
$[(\text{CH}_3)_4\text{N}]_2\text{CuBr}_4$	12.0 [8]	37.0 [8]	1.9 [8]

так как $dT_{c1}/dp < dT_{c2}/dp$, с увеличением давления температурный диапазон существования сегнетоэлектрической фазы уменьшается и при некотором давлении p_0 она исчезает.

При растворении в тяжелой воде комплексного соединения $[(\text{CH}_3)_2\text{NH}_2]_2\text{CuCl}_4$ замена водорода дейтерием может происходить только при разрыве N—H-связей, поскольку, несмотря на то что энергии связи C—H и N—H сравнимы (85 и 83 ккал/моль соответственно), связь C—H является неполярной и в водных растворах не разрывается, а связь N—H является сильно полярной и при растворении в полярном растворителе

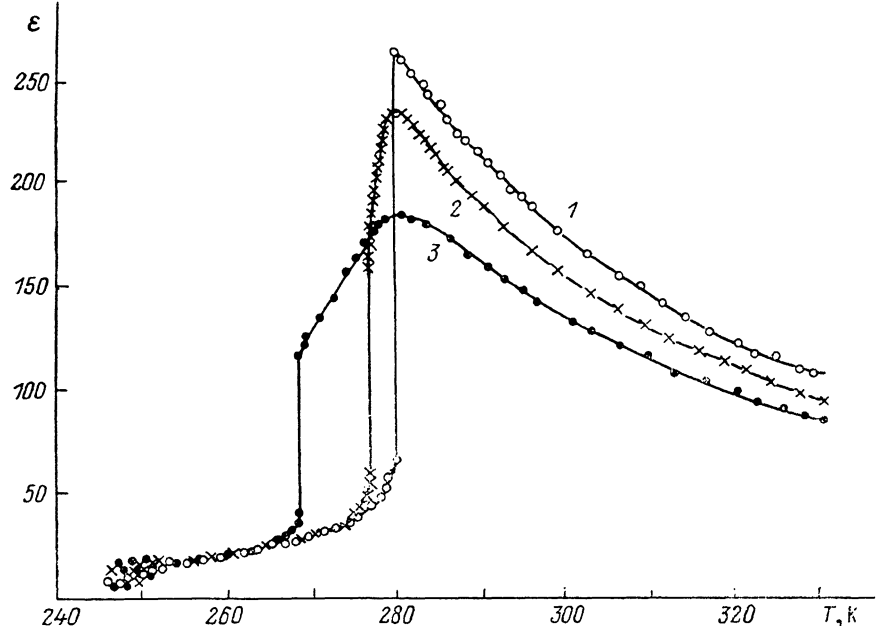


Рис. 3. Температурная зависимость диэлектрической проницаемости кристаллов $[(\text{CH}_3)_2\text{NH}_{2-x}\text{D}_x]_2\text{CuCl}_4$, где $x_1=0$, $x_2 < x_3$.

(D_2O) подвижный атом водорода из этой связи легко отделяется и переходит в раствор в виде иона H^+ с последующим замещением его дейтерием из раствора. Таким образом, используемый нами метод позволяет получить частично дейтерированные кристаллы с общей формулой $[(\text{CH}_3)_2\text{NH}_{2-x}\text{D}_x]_2\text{CuCl}_4$.

Сопоставление действия гидростатического давления на кристалл $[(\text{CH}_3)_2\text{NH}_2]_2\text{CuCl}_4$ с эффектом дейтерирования показывает, что введение в него дейтерия вместо водорода, находящегося в N—H связях, аналогично действию гидростатического давления, в то время как в сегнетоэлектрических кристаллах семейства $\beta\text{-K}_2\text{SO}_4$, содержащих в качестве катиона тетраметиламмоний, дейтерирование приводит к результату, аналогичному приложению отрицательного гидростатического давления $p=-5$ кбар.

Такое различие в поведении кристаллов, содержащих в качестве катиона диметиламмоний и тетраметиламмоний, возможно, объясняется различным характером внедрения дейтерия в катионы: дейтерирование тетраметиламмония приводит как к увеличению радиуса катиона, так и увеличению его массы, в то время как дейтерирование диметиламмония только увеличивает массу катиона, не изменяя его максимального радиуса (рис. 4).

Известно, что в кристаллах семейства $\beta\text{-K}_2\text{SO}_4$ фазовые переходы из верхней параэлектрической фазы, приводящие к понижению симметрии, носят триггерный характер — смещение катиона сопровождается упоря-

дочением тетраэдрических групп. Знак барического коэффициента dT_{c1}/dp в точке фазового перехода указывает, какой процесс имеет преимущество. Отрицательный знак dT_{c1}/dp говорит о том, что в кристалле $[(\text{CH}_3)_2\text{NH}_2]_2\text{CuCl}_4$ фазовый переход в точке T_{c1} является переходом типа смещения. Сравнение величин барических коэффициентов dT_{c1}/dp чистого и дейтерированного кристаллов указывает на увеличение роли упорядочения тетраэдров по сравнению со смещением катионов в механизме фазового перехода при дейтерировании кристаллов, однако как в дейтерированных, так и в исходных кристаллах основным механизмом фазового перехода является смещение. Такой вывод согласуется с данными работы [9] по исследованию фазовых переходов в кристаллах K_2SeO_4 , K_2ZnCl_4 , Rb_2ZnCl_4 , где показано, что с уменьшением массы катиона по сравнению с анионом фазовый переход типа смещения переходит в фазовый переход типа порядок—беспорядок.

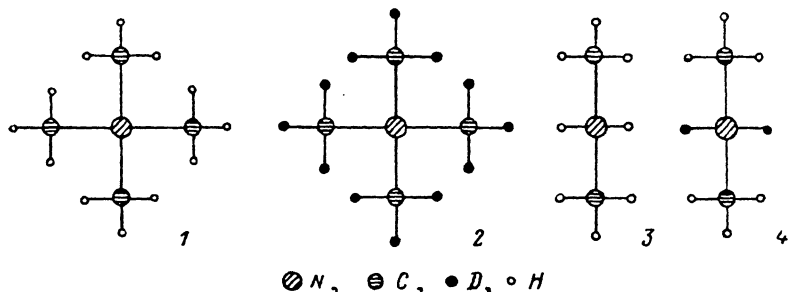


Рис. 4. Схематическое изображение ионов.
1 — $(\text{CH}_3)_4\text{N}$, 2 — $(\text{CD}_3)_4\text{N}$, 3 — $(\text{CH}_3)_2\text{NH}_2$, 4 — $(\text{CH}_3)_2\text{ND}_2$.

Авторы выражают благодарность Л. А. Шувалову за интерес к работе и полезные дискуссии.

Л и т е р а т у р а

- [1] Боброва З. А., Варикаш В. М. ДАН БССР, 1986, т. 30, № 6, с. 510—512.
- [2] Боброва З. А., Варикаш В. М., Шувалов Л. А., Баранов А. И. Кристаллография, 1987, т. 32, № 1, с. 255—256.
- [3] Gesi K. J. Phys. Soc. Jap., 1982, vol. 51, N 8, p. 2532—2537.
- [4] Боброва З. А., Варикаш В. М., Баранов А. И. XI Всес. конф. по физике сегнетоэлектриков. Киев, 1986, ч. II, с. 15.
- [5] Wada M., Suzuki M., Sawada A. et al. J. Phys. Soc. Jap., 1981, vol. 50, N 6, p. 1813—1814.
- [6] Флеров И. Н., Искорнев И. М., Ком Л. А. X Всес. конф. по физике сегнетоэлектриков. Минск, 1982, ч. I, с. 218.
- [7] Gesi K. J. Phys. Soc. Jap., 1982, vol. 51, N 4, p. 1043—1044.
- [8] Gesi K. J. Phys. Soc. Jap., 1983, vol. 52, N 7, p. 2534—2537.
- [9] Gesi K. J. Phys. Soc. Jap., 1981, vol. 50, N 3, p. 733—734.

Минский
радиотехнический институт
Минск

Поступило в Редакцию
16 февраля 1988 г.